

ガラクトロン酸への鉄(Ⅱ)イオンの結合

中 村 泰 彦

(2002年10月15日 受理)

Binding of Iron(Ⅱ) Ion to α -D-Galacturonic Acid

NAKAMURA · Yasuhiko

Abstract

Experiments and calculations were carried out in order to confirm Fe^{2+} complex formation by α -D-galacturonic acid. Measurement of Fe^{2+} ions in the supernatant of FeSO_4 solutions in the presence or in the absence of the acid, and gel permeation chromatography of the substances in the supernatant proved the binding of Fe^{2+} ions to the acid or its degradation products at pH 8.0. *Ab initio* MO calculations at the level of B3LYP/LANL2DZ showed that a conformation of α -D-galacturonate ion- Fe^{2+} complex formed through three coordinated bonds between a Fe^{2+} ion and three oxygen atoms, a carboxyl oxygen atom, the oxygen atom in pyranose ring and the hydroxyl oxygen atom attached to the carbon atom at position 4(C4) was the lowest energy one. The release of hydroxyl group at C4 and the cleavage of the carbon-oxygen bond of the carboxyl group coordinated to Fe^{2+} were considered to be probable as a result of the complex formation, because the change of bond distances and net atomic charges of α -D-galacturonate ion moiety due to the complex formation was very large at the related atoms on the calculations taking the electron correlation into consideration.

Keywords: α -D-galacturonic acid; iron(Ⅱ); *ab initio* MO calculation; B3LYP method; geometry optimization

1 はじめに

鉄は日本人の栄養摂取量の中で充足率の低い栄養素であり、平成12年の国民栄養調査結果¹⁾によ

ると、20～29歳女子の場合、所要量に対する充足率は78%である。食品中の鉄の吸収利用率は概して低く、吸収のよいヘム鉄でも30%程度で、ヘム鉄以外の鉄では5%程度であるとされている²⁾。日本人が多く摂取する大豆や野菜類にも鉄を多く含むものがあるが、その吸収利用率の低さが鉄欠乏につながっているものと考えられる。鉄は小腸から吸収されるが、小腸のpHは弱アルカリ性であるため、遊離の鉄イオンは水酸化鉄などの不溶性の化合物を作り、吸収を妨げる。一方、食品成分も鉄の吸収に影響を及ぼす。吸収阻害物質としては、ポリフェノールやフィチン酸など鉄と不溶性の化合物を作るものが知られており、吸収促進物質としてはアスコルビン酸、ペプチド、オリゴガラクトロン酸などが知られている。アスコルビン酸の吸収促進機構についてはまだ十分には解明されていないが、溶解性の高い2価鉄状態への還元作用や水溶性の配位結合物の形成などが推定されている。一方、オリゴガラクトロン酸については、主にペクチンの分解物を用いて研究され、動物における鉄の吸収利用を促進することが報告されている^{3)～5)}。また、ウロン酸が植物の根における鉄の吸収に関与していることから、鉄とガラクトロン酸の結合物の分光学的・化学量論的研究も行われている^{6)～8)}。著者らは、大豆の煮熟軟化における鉄(II)塩の効果に関する研究の過程で、鉄(II)イオンが大豆のペクチン質の可溶化を促進すること⁹⁾、鉄(II)イオンの結合した細胞壁を加熱するとペクチン性多糖の分解が起こることを明らかにした¹⁰⁾。この結合と結合に伴う分子鎖の切断はペクチン酸でも同様に起こることから、ペクチン性多糖への鉄(II)イオンの結合はガラクトロン酸部位で起こるものと推定した。そこで遊離のガラクトロン酸を用いた実験によって鉄(II)イオンとガラクトロン酸の結合を確かめ、結合の位置と結合に伴う分子構造の変化を分子軌道計算によって検討した。

2 研究方法

2.1 試薬

α -D-ガラクトロン酸(GA)はナカライトスク(株)の一水塩を、硫酸鉄(II)(FeSO₄)は片山化学(株)の七水塩を使用した。他の試薬は特級品を使用した。ゲルろ過にはバイオ・ラッドラボラトリーズ(株)のバイオゲルp-2を用いた。

2.2 GAによる鉄の可溶化

0.212gのGAを10mlの蒸留水に溶かし、これに0.278gのFeSO₄を加えて溶かし、攪拌しながら薄いNaOH溶液を少しづつ加えて注意深く所定のpHにした。pH調整後、蒸留水を加えて20mlとし(終濃度: Fe²⁺ 0.05M, GA 0.05M), 室温で10分間攪拌したあと、9000rpmで10分間遠心分離した。得られた上澄み中の鉄をo-フェナントロリン法¹¹⁾で測定した。

2.3 鉄結合物のゲルろ過による分離

0.2MのNaClを含む0.1Mトリス-HCl緩衝液(pH8.0)で平衡化したφ1.6cm×100cmのバイ

オゲルP-2のカラムに、2.2で調製したpH8.0の混合液の遠心分離上澄み2mlを加え、0.1Mトリス-HCl緩衝液(pH8.0, 0.2M NaClを含む)を用いて流速20ml/hrで溶出させた。溶出液2.0mlずつを試験管に集め、その中のGAをフェノール・硫酸法¹²⁾で、Fe²⁺をo-フェナントロリン法で測定した。

2.4 分子軌道計算

計算はプログラムとしてQ-Chem 2.0¹³⁾とGaussian98¹⁴⁾を使用し、鹿児島大学総合情報処理センターの計算機で行った。

α -D-ガラクトロン酸イオン(GA⁻)の構造最適化はHF法およびB3LYP法で行った。基底系はPopleらの6-31G, 6-31G(d), 6-31+G(d)および有効内殻ポテンシャル関数を含むSBKJC, LANL2DZを用いた。SBKJCはHに3-21Gを、C, OにはHeを内殻として原子価殻にStevensら¹⁵⁾の関数を、FeにはNeを内殻としてそれより外側の殻にStevensら¹⁶⁾の関数を用いている。LANL2DZはH, C, Oに6-31Gを、FeにはNeを内殻としてそれより外側の殻にHayら¹⁷⁾の関数を用いている。

HF法およびB3LYP法といくつかの基底系を使って最適化させたGA⁻について、そのエネルギーをB3LYP/6-311+G(d,p)計算により求めた。また、得られた最適化構造のうち、エネルギーの最も低い構造の電子状態をMP2法、Local-MP2法¹⁸⁾およびB3LYP法で計算し、Mullikenのポピュレーション分析により各原子上の電荷を求めた。

GA⁻-Fe²⁺複合体の構造最適化は、二段階に分けて行った。まず、GA⁻の負電荷の大きい原子(いずれも酸素原子)から2.0Åの距離で、結合角が120°となる位置にFe²⁺を配し、SBKJCで構造を最適化した。次に、SBKJCで最適化した構造を出発構造として、さらにLANL2DZで最適化を行った。スピニ多密度は、Fe²⁺の配位化合物の電子構造を参考にして、5または1とした。

3 結果および考察

3.1 α -D-ガラクトロン酸への鉄の結合

硫酸鉄(II)(FeSO₄)溶液またはFeSO₄と α -D-ガラクトロン酸(GA)の混合液を遠心分離した上澄み中のFe²⁺の量をTable 1に示す。FeSO₄のみではFe²⁺はpH8.0では多くが沈殿してしまい、上澄み中には少量しか検出されなかった。しかし、GAが存在する場合には存在しない場合の5倍のFe²⁺が上澄みから検出された。pH7.0ではGAが存在しない場合でも上澄み中に溶存し

Solute	Fe ²⁺ in supernatant(A ₅₁₀)				
	pH 4.0	pH 5.0	pH 6.0	pH 7.0	pH 8.0
Galacturonic acid + FeSO ₄	1.15±0.18	1.14±0.12	1.11±0.05	1.09±0.06**	0.44±0.16**
FeSO ₄	1.21±0.12	1.08±0.09	1.06±0.10	0.83±0.15	0.08±0.07

Values are mean±SD(n=5). **p<0.01.

Table 1 Solubilization of iron(II)sulfate in α -D-galacturonic acid solutions

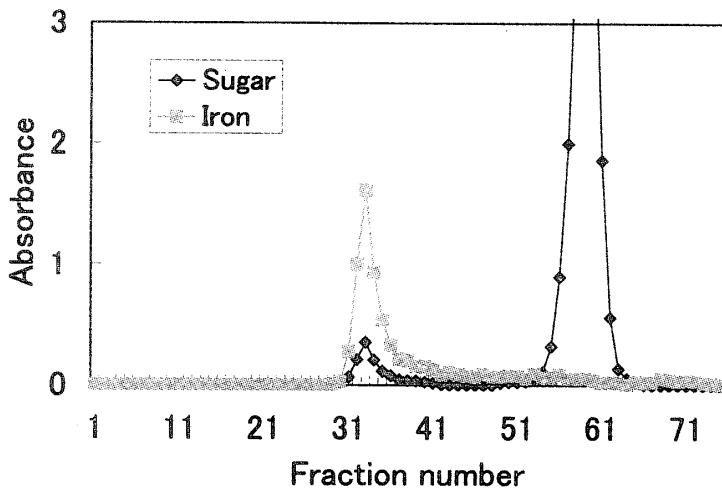


Fig.1 Gel permeation chromatography of substances in supernatant on Biogel P-2

Column: ϕ 1.6 cm \times 100 cm. Eluent: 0.1 M tris-HCl(pH 8.0) containing 0.2 M NaCl.
Flow rate: 40 ml/hr. Fraction volume: 2 ml/tube.

ている Fe^{2+} は増加したが、GA が共存する場合にはさらに多くの Fe^{2+} が上澄みから検出された。pH6.0, 5.0, 4.0では、GA がある場合とない場合で有意の差は認められなかった。宮田ら¹⁹⁾はオリゴガラクトロン酸で pH と Fe^{2+} の可溶化との関係を調べ、pH7.0以上でオリゴガラクトロン酸の有無による可溶性鉄の量に差が出てくるとしている。GA でも同じような結果が得られた。

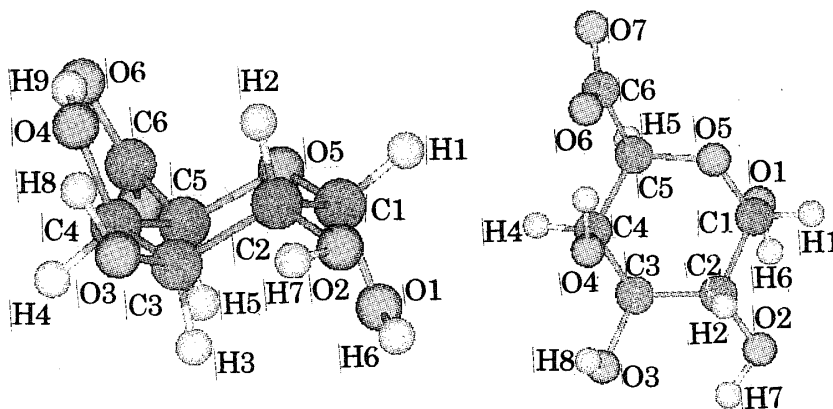
GA と FeSO_4 の混合液の pH8.0 の遠心分離上澄みをバイオゲル P-2 でゲルろ過した結果を Fig.1 に示す。フラクション No.58 に GA と一致する大きなピークが、またフラクション No.33 に未知の小さなピークが、ともにフェノール硫酸法で検出された。 Fe^{2+} は No.33 のピークに検出された。No.33 のピークを含む画分中のフェノール硫酸法陽性の成分は薄層クロマトグラフィーによっても Fe^{2+} と分離されないので、 Fe^{2+} と結合しているものと考えられる。

3. 2 α -D-ガラクトロン酸と鉄の複合体の最適化構造

異なった方法と基底系を使って最適化させた GA^- のエネルギーと主な結合の長さ、二面角を Table 2 に示す。

大きい基底系では、B3LYP 法で最適化した構造は HF 法で最適化したものよりエネルギーが低かった。B3LYP 法では、6-31G 基底系への分極関数、分散関数の追加によってエネルギーのより低い構造を見つけることができた。しかし HF 法では、いずれの関数の追加もエネルギーのより低い構造の探索に効果がなかった。 GA^- 構成原子間の結合長さに関して、B3LYP 法は HF 法に比べ一般に長い結合長さを与える傾向がみられたが、O6-H9 の距離は B3LYP 法がより短かい値を与えた。O6-C6-C5-C4 の二面角は用いた方法や基底関数の違いによらず、40° 前後の値となり、GA のメチルエステルが 0° に近い値をとる²⁰⁾ のとは対照的であった。

最も低いエネルギー値を与えた、B3LYP/6-31+G(d) で最適化した構造の電荷を、電子相関を

Fig.2 Atom labels of a α -D-galacturonate ion

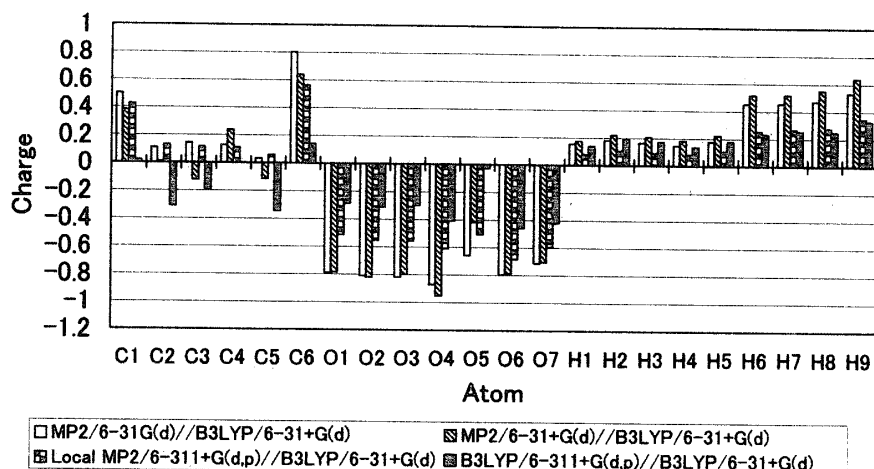
取り入れた方法で計算した結果を Fig. 3に示す。B3LYP/6-311+G(d,p)で計算した場合を除き、負の電荷の大きい上位 7 原子は酸素原子で、正の電荷はC6が最も高く、次いでC1、O-Hの水素原子、次いでC-Hの水素原子の順であった。B3LYP/6-311+G(d,p)で計算したときの電荷分布は特異で、O5の負電荷およびC1の正電荷が極端に減り、C2、C3、C5は負電荷となった。炭素原子が負の値となることはMP2/6-31+G(d)計算でも見られるので、これは分散関数を追加したことの影響と思われる。

Optimization method/basis	Bond length(Å) and dihedral angle($^{\circ}$)							B3LYP/6-311+G(d,p) energy(au)
	Cn-Cn+1 $n \leq 4$	C5-O5	O5-C1	Cn-On $n \leq 4$	C5-C6	O6-H9	O6-C6-C5-C4	
HF/6-31G	1.5220	1.4529	1.3976	1.4325	1.5463	1.7028	42.396	-760.9296
HF/6-31G(d)	1.5244	1.4247	1.3705	1.4062	1.5579	1.7136	47.792	-760.9294
HF/6-31+G(d)	1.5256	1.4225	1.3708	1.4071	1.5576	1.7486	46.093	-760.9292
B3LYP/SBKJC	1.5517	1.4988	1.4325	1.4766	1.5855	1.5352	36.760	-760.9190
B3LYP/6-31G	1.5299	1.4880	1.4197	1.4585	1.5630	1.5176	36.618	-760.9288
B3LYP/6-31+G(d)	1.5334	1.4509	1.3903	1.4321	1.5716	1.6063	41.064	-760.9352

Table 2 Geometrical parameters and total energies of optimized conformations of a α -D-galacturonate ion

4つの方法による電荷の計算結果を総合して見たとき、負の電荷分布が大きいO1~O7の酸素原子の近傍に Fe^{2+} を置いて、GA⁻- Fe^{2+} 複合体の構造最適化を行った。得られた7つの構造のエネルギー、ピラノース環の形、 Fe^{2+} への配位原子を Table 3 に、また分子モデルと Fe^{2+} -Oの距離を Fig. 4に示す。

LANL2DZ レベルで最もエネルギーの低い構造はO4、O5、O6が Fe^{2+} に配位する構造(f)で、次にエネルギーの低いO1、O5、O7が配位する構造(g)より 3.4kcal/mol 低かった。エネルギーではこれらより高いが、O3、O4に配位する構造(d)およびO1、O2に配位する構造(b)では Fe^{2+} が結合する水酸基の水素原子が離脱してカルボキシル基の酸素原子に移動する変化が見られる。この変化はポテンシャルエネルギー面をより低い方へ降りていく過程で見られる変化であり、途中にエネ

Fig.3 Mulliken net atomic charges of α -D-galacturonate ions

ルギー障壁は見あたらない。最適化によって得られた7つの構造の間のエネルギーの順位とエネルギー差は SBKJC レベルと LANL2DZ レベルで近似していた。ただし、Q-Chem では LANL2DZ

Coordination atoms	Ring conformation	Multi-plicity	Energy			
			SBKJC		LANL2DZ	
			Total (au)	Relative (kcal/mol)	Total (au)	Relative (kcal/mol)
O1,O2	$^4\text{C}_1$ chair	5	-273.9350	63.6	-883.4816	56.1
O1,O2	Twist-boat	5	-273.9986	23.7	-883.5341	23.2
O2,O3	$^4\text{C}_1$ chair	5	-273.9446	57.5	-883.4930	49.0
O3,O4	$^4\text{C}_1$ chair	5	-274.0118	15.4	-883.5486	14.1
O4,O6	$^4\text{C}_1$ chair	5	-273.9919	27.9	-883.5293	26.2
O4,O5,O6	$^4\text{C}_1$ chair	5	-274.0363	0	-883.5711	0
O1,O5,O7	Twist-boat	5	-274.0282	5.1	-883.5656	3.4
O4,O5,O6	$^4\text{C}_1$ chair	1	-273.9664	43.8	-883.5075	39.9

Table 3 Total energies and conformations of Fe^{2+} complexes optimized by the B3LYP method

基底系を有効内殻ポテンシャルとともに使うとき、H, C, O の各元素には 6-31G 基底系を適用しているので、Q-Chem で求めたエネルギー値そのものは Gaussian98 の B3LYP/LANL2DZ で求めた値とは多少異なる。ピラノース環は Fe^{2+} の結合位置によっては常に $^4\text{C}_1$ のいす形構造が安定であるとは限らず、ねじれ舟形構造が安定な場合もみられた。最適化された構造における Fe^{2+} -O の距離は、最も短いほうから 2 または 3 番目までが 1.78~2.15 Å の範囲にあり、 Fe^{2+} はこれらの酸素原子と配位結合を形成していると考えられる。また、電子のスピン多重度はすべての最適化構造において 5 が 1 よりエネルギーが低く、外部軌道型の結合を形成することを示唆している。配位数に関しては、3 個の酸素原子が配位する構造が 2 個の酸素原子が配位する構造よりエネルギーが低い傾向を示した。

O4, O5, O6- 配位構造における原子間結合距離および Mulliken のポピュレーション分析による原子上の電荷を Table 4 および 5 に示す。LANL2DZ レベルで最適化した構造は、 Fe^{2+} -O4,

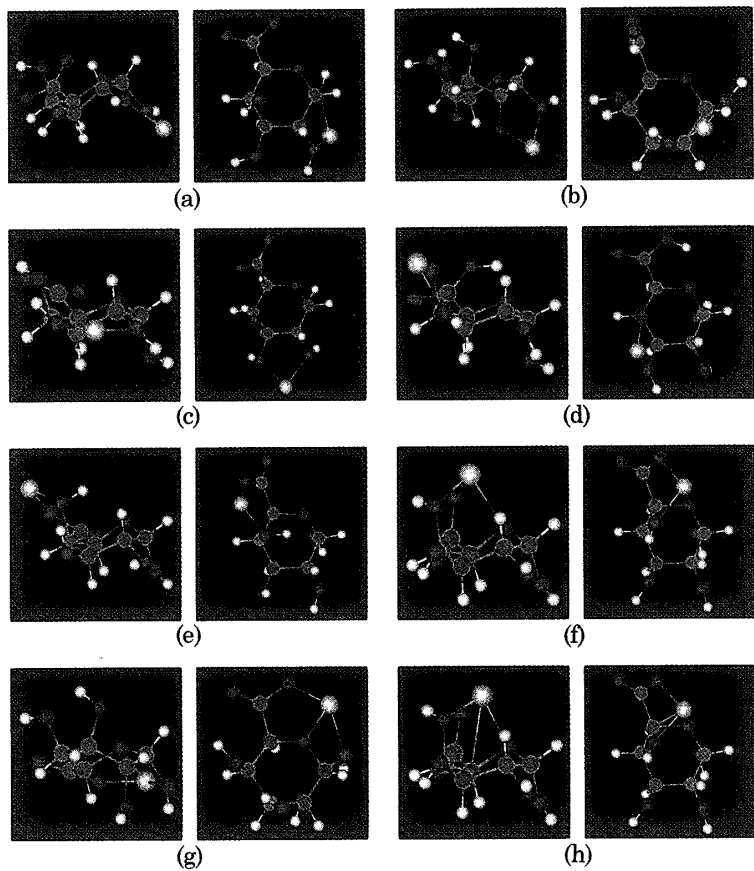


Fig.4 Representation of α -D-galacturonate ion- Fe^{2+} complexes optimized at B3LYP/LANL2DZ level

(a) O1,O2-Coordinated. O1-Fe, 2.0230 Å; O2-Fe, 2.0254 Å. (b) O1,O2-Coordinated(twist-boat). O1-Fe, 1.9831 Å; O2-Fe, 1.7963 Å. (c) O2,O3-Coordinated. O2-Fe, 2.0756 Å; O3-Fe, 2.0398 Å. (d) O3,O4-Coordinated. O3-Fe, 2.0142 Å; O4-Fe, 1.7912 Å. (e) O4,O6-Coordinated. O4-Fe, 2.0114 Å; O6-Fe, 1.7857 Å. (f) O4,O5,O6-Coordinated. O4-Fe, 2.0309 Å; O5-Fe, 2.1243 Å; O6-Fe, 1.8509 Å. (g) O1,O5,O7-Coordinated(twist-boat). O1-Fe, 2.0850 Å; O5-Fe, 2.1507 Å; O7-Fe, 1.8509 Å. (h) O4,O5,O6-Coordinated. Multiplicity,1. O4-Fe, 1.9447 Å; O5-Fe, 1.9520 Å; O6-Fe, 1.807 Å. Element color: carbon, green; oxygen, red; hydrogen, white; iron, yellow. Enumeration of atoms is shown in Fig.2.

Fe^{2+} -O5, Fe^{2+} -O6を除き, SBKJC レベルで最適化した構造より短い結合長さを与えたが, Fe^{2+} -O4, Fe^{2+} -O5, Fe^{2+} -O6は長かった。GA⁻部分の原子間結合距離を, GA⁻への Fe^{2+} の結合前後で比較すると, SBKJC レベルでも LANL2DZ レベルでも C4-O4が最も大きな伸長を示している。逆に, O4-H9は原子間結合の中で最大の縮小を見せており, これらの結合の伸長と縮小は, Fe^{2+} の結合に伴うC4-OH結合の解裂の可能性を増大させるものと解釈することができる。C6-O6もC4-O4に次いで大きい伸長を見せている。 Fe^{2+} -O6が他の Fe^{2+} -Oに比べて極端に短いことを考慮すると, C6-O6の結合切断, Fe^{2+} -O6の形成を経た Fe^{2+} -O6Hの生成の可能性もあることを示唆していると言える。ちなみに, Fe^{2+} をピラノース環の中央部上方で, 複数の原子と共に結合距離近くにおいて構造最適化をした場合, OHが離脱して Fe^{2+} に結合する変化が観察される。原子電荷の変化を見ると, H4, H5など炭素原子に直結している水素原子の正電荷が増し, プロトン化へ

の傾斜が大きくなることを示している。変化量ではO7が大きいが、O7はもともと負電荷の大きい原子であり、O6からFe²⁺への電子移動の影響を強く受けたものと思われる。C5、O5の負方向への電荷変化は、GA⁻からGA⁻-Fe²⁺への正味の電荷変化が+2であることを考慮すると非常に大きな変化といえる。

Bond	(1) GA ⁻ -Fe ²⁺		(2) GA ⁻		Difference (1)-(2)	
	SBKJC	LANL2DZ	SBKJC	LANL2DZ	SBKJC	LANL2DZ
C1-C2	1.5669	1.5404	1.5515	1.5261	0.0154	0.0143
C2-C3	1.5624	1.5423	1.5448	1.5256	0.0176	0.0167
C3-C4	1.5539	1.5352	1.5469	1.5265	0.0007	0.0087
C4-C5	1.5506	1.5312	1.5634	1.5412	-0.0128	-0.0100
C5-O5	1.5152	1.5003	1.4987	1.4880	0.0165	0.0123
C5-C6	1.5730	1.5495	1.5855	1.5630	-0.0125	-0.0135
C6-O6	1.3805	1.3630	1.3242	1.3063	0.0563	0.0567
C6-O7	1.2387	1.2221	1.2790	1.2593	-0.0403	-0.0372
C4-O4	1.5258	1.5082	1.4661	1.4497	0.0597	0.0585
O4-H9	0.9890	0.9837	1.0479	1.0466	-0.0589	-0.0629
C5-H5	1.0956	1.0897	1.1020	1.0931	-0.0064	-0.0034
Fe-O4	2.0309	2.0411				
Fe-O5	2.1243	2.1315				
Fe-O6	1.8509	1.8521				

Table 4 Bond lengths of the O4,O5,O6-coordinated Fe²⁺ complex optimized by the B3LYP method

Atom	(1)GA ⁻ -Fe ²⁺		Difference (1)-(2)
	B3LYP/LANL2DZ opt	B3LYP/LANL2DZ opt	
C1	0.4728	0.5054	-0.0326
C2	0.1346	0.1123	0.0223
C3	0.1212	0.1463	-0.0251
C4	0.1343	0.1265	0.0078
C5	-0.0910	0.0473	-0.1383
O5	-0.7984	-0.6773	-0.1211
C6	0.8955	0.8144	0.0811
O6	-0.9058	-0.8185	-0.0873
O7	-0.5309	-0.7143	0.1834
O1	-0.7498	-0.8003	0.0505
O2	-0.7781	-0.8191	0.0410
O3	-0.7951	-0.8313	0.0362
O4	-0.9341	-0.8872	-0.0469
H1	0.2318	0.1648	0.0670
H2	0.1953	0.1933	0.0002
H3	0.2488	0.1686	0.0802
H4	0.2788	0.1528	0.1260
H5	0.3200	0.1834	0.1366
H6	0.5041	0.4535	0.0506
H7	0.4831	0.4564	0.0267
H8	0.4829	0.4795	0.0034
H9	0.5383	0.5430	-0.0047
Fe	1.5414		

Table 5 Change of net atomic charges of the α -D-galacturonate ion moiety by binding of Fe²⁺ to O4,O5 and O6 atoms

4 まとめ

α -D- ガラクトロン酸はpH8.0で鉄(II)イオンの一部を可溶性にすること、可溶化された鉄(II)イオンは α -D- ガラクトロン酸またはその分解物と結合していることが実験によって確かめられた。鉄(II)イオンと α -D- ガラクトロン酸イオンで形成される複合体については、 α -D- ガラクトロン酸イオンのカルボキシル基の酸素、ピラノース環の酸素、4位の炭素原子に結合する水酸基の酸素の計3個の酸素原子が鉄(II)イオンに同時に配位する構造がエネルギー的には最も安定であることがB3LYP/LANL2DZによる構造最適化の計算によって示された。この複合体形成によって、4位の炭素原子に結合する水酸基の離脱、6位の炭素原子と鉄(II)イオンに結合する酸素原子間の結合の解裂の可能性が強まることが、鉄(II)イオンとの結合に伴う原子間距離の変化および原子電荷の変化から推定された。

参考文献

- 1) 厚生労働省健康局総務課生活習慣病対策室：平成12年国民栄養調査の概要について（2001）。
- 2) T.H.Bothwell, R.W.Charlton, J.D.Cook and C.A.Finch: Iron Metabolism in Man. Blackwell Scientific Publications LTD.(1979).
- 3) S.Tabata and K.Tanaka: Studies on Fe Complexes Produced by Yeast. II. Physicochemical Properties of an Fe(II)-Oligosaccharide Complex and Their Relation to Fe Absorption. *Chem.Pharm.Bull.*, 35, 3343-3352(1987).
- 4) M.Kim and M.T.Atallah: Structure of Dietary Pectin, Iron Bioavailability and Hemoglobin Repletion in Anemic Rats. *J.Nutr.*, 122, 2298-2423(1992).
- 5) M.Kim: Highly Esterified Pectin with Low Molecular Weight Enhances Intestinal Solubility and Absorption of Ferric Iron in Rats. *Nutrition Research*, 18, 1981-1994(1998).
- 6) B.Lakatos, L.Korecz and J.Meisel: Comparative Study on the Mössbauer Parameters of Iron Humates and Polyuronates. *Geoderma*, 19, 149-157(1977).
- 7) G.Micera, S.Deiana, C.Gessa and M.Petrera: Spectroscopic Studies on the Binding of Iron(II) and (III) Ions to Polygalacturonic Acid. *Inorg.Chim.Acta*, 56, 109-113(1981).
- 8) S.Deiana, C.Gessa, V.Solinas, P.Piu and R.Seeber: Complexing and Redox Properties of the System D-galacturonic Acid-Iron(III). *J.Inorg.Biochem.*, 35, 107-113(1989).
- 9) 中村泰彦, 田島真理子：鉄(II)塩溶液浸漬による大豆中のペクチンの可溶化. 家政誌, 46, 877-880 (1995).
- 10) 中村泰彦：2001年度日本家政学会九州支部大会研究発表要旨集, p.11 (2001).
- 11) 日本食品科学工学会 新・食品分析法編集委員会編：新・食品分析法, 光琳, pp.196-198 (1996).
- 12) 安藤銳郎, 寺山宏, 西沢一俊, 山川民夫編：生化学研究法I, 朝倉書店, p.258 (1967).
- 13) J.Kong, C.A.White, A.I.Krylov, C.D.Sherrill, R.D.Adamson, T.R.Furlani, M.S.Lee, A.M.Lee, S.R.Gwaltney, T.R.Adams, C.Ochsenfeld, A.T.B.Gilbert, G.S.Kedziora, V.A.Rassolov, D.R.Maurice, N.Nair, Y.Shao, N.A.Besley, P.E.Maslen, J.P.Dombroski, H.Daschel, W.Zhang, P.P.Koramabath, J.Baker, E.F.C.Byrd, T.Van Voorhis, M.Oumi, S.Hirata, C.-P.Hsu, N.Ishikawa, J.Florian, A.Warshel, B.G.Johnson, P.M.W.Gill, M.Head-Gordon and J.A.Pople, Q-Chem Version 2.0, Q-Chem, Inc., Export, PA.
- 14) M.J.Frisch, G.W.Trucks, H.B.Schlegel, G.E.Scuseria, M.A.Robb, J.R.Cheeseman, V.G.Zakrzewski, J.A.Montgomery, R.E.Stratmann, J.C.Burant, S.Dapprich, J.M.Millam, A.D.Daniels, K.N.Kudin, M.C.Strain, O.Farkas, J.Tomasi, V.Barone, M.Cossi, R.Cammi, B.Mennucci, C.Pomelli, C.Adamo, S.Clifford, J.Ochterski, G.A.Petersson, P.Y.Ayala, Q.Cui,

- K.Morokuma, D.K.Malick, A.D.Rabuck, K.Raghavachari, J.B.Foresman, J.Cioslowski, J.V.Ortiz, B.B.Stefanov, G.Liu, A.Liashenko, P.Piskorz, I.Komaromi, R.Gomperts, R.L.Martin, D.J.Fox, T.Keith, M.A.Al-Laham, C.Y.Peng, A.Nanayakkara, C.Gonzalez, M.Challacombe, P.M.W.Gill, B.G.Johnson, W.Chen, M.W.Wong, J.L.Andres, M.Head-Gordon, E.S.Replogle and J.A.Pople, Gaussian98, revision A.7, Gaussian, Inc., Pittsburgh, PA(1998).
- 15) W.J.Stevens, H.Basch and M.Krauss: Compact Effective Potentials and Efficient Shared-exponent Basis Sets for the First- and Second-row Atoms. *J.Chem.Phys.*, **81**, 6026-6033 (1984).
- 16) W.J.Stevens, M.Krauss, H.Basch and P.G.Jasien: Relativistic Compact Effective Potentials and Efficient, Shared-exponent Basis Sets for the Third-, Fourth-, and Fifth-row Atoms. *Can.J.Chem.*, **70**, 612-630(1992).
- 17) P.J.Hay and W.R.Wadt: Ab Initio Effective Core Potentials for Molecular Calculations. Potentials for K to Au Including the Outmost Core Orbitals. *J.Chem.Phys.*, **82**, 299-310 (1985).
- 18) M.Head-Gordon and P.Gill: Q-Chem 2.0 User's Guide, Q-Chem, Inc., Export, PA(2001). <http://www.q-chem.com>.
- 19) 宮田富弘, 中島昭:ペクチン分解物(オリゴガラクトurons酸)の化学的性質と鉄生体利用性. 松山東雲短期大学研究論集, **25**, 221-227 (1995).
- 20) 中村泰彦:分子動力学法によるガラクトurons酸メチルテトラマーの低エネルギー構造. 鹿児島大学教育学部研究紀要, **50**, 137-146 (1999).